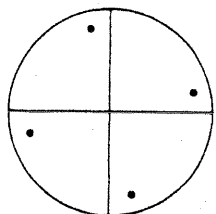


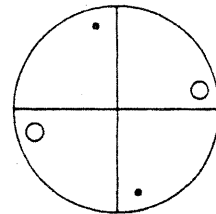
**TFY4175 MATERIALFYSIKK OG KARAKTERISERING**  
**MIDTSEM. PRØVE 10.03.05**  
**LØSNINGSFORSLAG**

Oppgave 1

- a) En  $n$ -tallig rotasjonsakse dreier et punkt eller en figur vinkelen  $\phi = 360^\circ/n$  om aksen, dvs. tilbake til utgangspunktet etter  $n$  operasjoner. Mulige verdier for  $n$  i et krystallgitter (gitt av kravet om translasjonsrepetisjon): 1, 2, 3, 4 og 6.
- b)



4



$\bar{4}$

c)

$$\begin{pmatrix} 1 & 0 & 0 \\ 0 & \bar{1} & 0 \\ 0 & 0 & \bar{1} \end{pmatrix} \cdot \begin{pmatrix} \bar{1} & 0 & 0 \\ 0 & \bar{1} & 0 \\ 0 & 0 & \bar{1} \end{pmatrix} = \begin{pmatrix} \bar{1} & 0 & 0 \\ 0 & 1 & 0 \\ 0 & 0 & 1 \end{pmatrix}$$

$$\{2_{[100]}\} \cdot \{\bar{1}\} \equiv \{m_{[100]}\}$$

dvs. kombinasjonen av en 2-tallig akse  $\parallel [100]$  og et inversjonssentrum er ekvivalent med et speilplan  $\perp [100]$ .

Oppgave 2

- a) Bare tallighetene  $n = 1, 2, 3, 4$  og  $6$  er 'tillatt'. I kombinasjonen  $2\ 2\ n$  må  $n$  være  $\geq 2$  fordi en kombinasjon av to (ortogonale) 2-tallige akser genererer en tredje 2-tallige akse som er ortogonal med begge de to første. Den siste kombinasjonen  $2\ 3\ 5$  i oversikten er ikke 'tillatt' pga. 5-tallighet. Til sammen har vi for tre akser med  $n \geq 2$ :

2 2 2

2 2 3

2 2 4

2 2 6

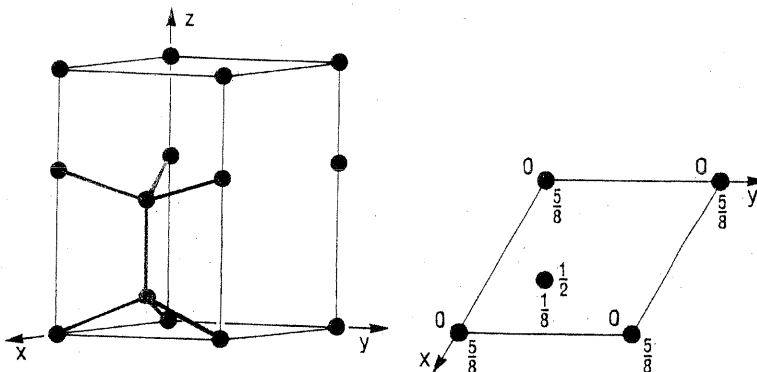
2 3 3

2 3 4

- b) De forskjellige mulige 3-dim. gitrene inndeles i krystalsystemer, som også må være i samsvar med de tillatte kombinasjonene av akser i et punkt, se 2a). Vi kan derfor bruke de tillatte akser eller kombinasjoner av akser til å klassifisere gitre i krystalsystem. I tillegg til kombinasjonene av tre akser med  $n \geq 2$ , kommer et som bare har 1-tallige akser (triklin) og et med bare en 2-tallig akse i tillegg til to 1-tallige (monoklin). Aksekombinasjonene 2 3 3 og 2 3 4 regnes begge til det kubiske krystalsystemet.
- c) I. Monoklin:  $a \neq b \neq c; \alpha = \gamma = 90^\circ, \beta \neq 90^\circ$  ( $b$  unik) eller  $\alpha = \beta = 90^\circ, \gamma \neq 90^\circ$  ( $c$  unik). Tetragonal:  $a = b \neq c; \alpha = \beta = \gamma = 90^\circ$ .
- II. De øvrige 5 krystalsystemene: triklin, ortorombisk, trigonal, hexagonal, kubisk.

### Oppgave 3

a) I.



II. Antall atomer i cella:  $8 \cdot 1/8 + 4 \cdot 1/4 + 1 + 1 = 4$

- b) I. Minste C – C avstand langs  $c$ -aksen:  $3/8 \cdot c = 3/8 \cdot 4.1186 \text{ \AA} = 1.5445 \text{ \AA}$   
Samme lengde har bindingene fra C med  $z = 1/8 c$  til hver av de tre C med  $z = 0$ .
- II. Cellevol.  $V = a \cdot b \sin 60^\circ \cdot c = 2.5221^2 \cdot \sin 60^\circ \cdot 4.1186 \text{ \AA}^3$

$$\text{Masseeinnhold } m = \frac{Z \times M}{N_A} ; \quad \text{Tetthet } \rho_h = \frac{m}{V} = \frac{Z \times M}{N_A \times V}$$

$$\rho_h = \frac{4 \cdot 12.0107 \text{ g/mol}}{6.0221 \cdot 10^{23} \text{ mol}^{-1} (2.5221^2 \cdot \sin 60^\circ \cdot 4.1186) \cdot 10^{-24} \text{ cm}^3}$$

$$\underline{\rho_h = 3.516 \text{ g/cm}^3}$$

b) Tettheten i kubisk diamant

$$\rho_k = \frac{8 \cdot 12.0107 \text{ g/mol}}{6.0221 \cdot 10^{23} \text{ mol}^{-1} \cdot 3.5667^3 \cdot 10^{-24} \text{ cm}^3}$$

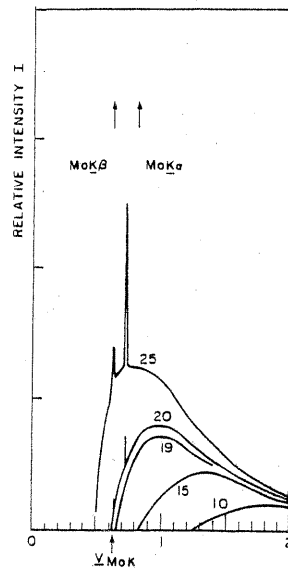
$$\underline{\rho_k = 3.516 \text{ g/cm}^3} \quad \text{dvs. } \underline{\rho_k = \rho_h}$$

## Oppgave 4

- a) Det er to mekanismer for generering av stråling i et røntgenrør:

I. *Bremsestråling*: De innfallende elektronene bremses ned og avbøyes i sine baner pga. påvirkning fra de positive kjernene i anoden. Akselerasjon eller deakselerasjon av ladete partikler (elektroner) medfører emisjon av stråling. Fordi det er et stort område av avbøyingsforløp – fra direkte støt og total overføring av kinetisk energi til strålingsenergi (kortbølgategrensen) til liten avbøyning – vil bremsestrålinga vise et kontinuerlig spektrum av energi. Bremsestråling oppstår for alle energier av innfallende elektroner. For et gitt element Z og konstant rørstrøm er intensiteten  $\propto V^2$  der  $V$  = rørspenningen.

II. *Karakteristisk stråling*: Når de innfallende elektronene har kinetisk energi større enn bindingsenergien for elektroner i de indre (energirikeste) nivåene hos atomene i anodematerialet kan støtet føre til at elektroner i indre nivå skytes ut til et ytre ubesatt nivå og etterlater seg vakanser. Denne eksitere tilstanden er ikke stabil. I løpet av kort tid ( $\leq 10^{-8}$  s) starter en deeksitasjonsprosess som medfører at elektroner i utenforliggende nivå springer inn i vakanser i innenforliggende nivå. Samtidig vil det bli emittert stråling som tilsvarer energispranget mellom start- og slutt-nivåene for overgangen (fluorescens). Energiforskjellene mellom indre atomnivåer tilsvarer stråling i røntgenområdet. Energien for emisjonslinjene er karakteristisk for hvert element og spektret framstår som skarpe linjer på en bakgrunn av bremsestråling.



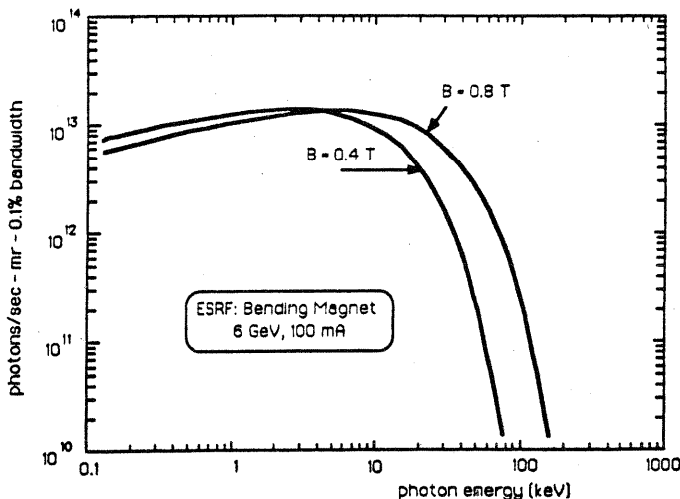
Stråling fra Mo anode for rørspenninger under, ved og over K eksitasjonsspenningen 20.0 kV.

Kortbølgategrensen  $\lambda_o$  i bremsestrålespekteret framkommer av:

$$\frac{1}{2} mv^2 = eV = h\nu_o = h c/\lambda_o \Rightarrow \lambda_o = \frac{hc}{eV}$$

Maksimum  $\lambda_m$  i bremsestrålespekteret ligger ved  $2\lambda_o$ .

- b) I en synkrotron skapes strålingen ved at et pulstog av injiserte elektroner avbøyes i sin bane av feltet fra en enkelt vertikaltstående magnetisk dipol (bøyemagnet) eller et nett av flere dipoler etter hverandre med alternerende feltretning (wiggler, undulator). Retningsforandringen av elektronenes hastighetsvektor i horizontalplanet betyr akselerasjon og den medfører emisjon av stråling i en kjegle som tangerer elektronbanen. Jo større hastighet pulstoget av elektroner har desto større intensitet og mindre divergens har strålingen. I en synkrotron vil elektronhastigheten ligge nær lyshastigheten.



Spektral fluks for stråling fra en bøyemagnet med to forskjellige feltstyrker, 0.8 og 0.4 T

- c) Moseley's lov for røntgenlinjene

$$(k/R)^{1/2} = \kappa(Z - \sigma)$$

$k = 1/\lambda =$  bølgetallet

$R =$  Rydbergkonstanten, en konst. med enhet [ $\text{m}^{-1}$ ] som uttrykker energi.

$\kappa = (1/n_i^2 - 1/n_f^2)^{1/2}$ , der  $n_i$  og  $n_f$  er hovedkvantetall for hhv. starttilstand og slutttilstand for atomet tilsvarende ei emisjonslinje. F.eks for K-linjene er  $\kappa = (1/1^2 - 1/2^2)^{1/2} = 0.866$ .  $\kappa$  blir i praksis bestemt eksperimentelt.

$Z =$  atomnummer

$\sigma =$  avskjermingskonstant: et indre elektron opplever et litt redusert kjernefelt pga. avskjerming fra andre indre elektroner.

Moseley's lov sier at bølgetallet ( $\propto$  energien) av røntgen-emisjonslinjene er proporsjonalt med atomnummeret  $Z$  for elementet.

### Oppgave 5

- a) Vektfraksjon av Mg:  $x$ , og av Al:  $1 - x$

Absorpsjonsloven:  $I = I_0 \cdot e^{-(\mu/\rho)t}$

Samlet absorpsjon i folien:  $(\mu/\rho)_t = (\mu/\rho)_{\text{Mg}} \cdot x + (\mu/\rho)_{\text{Al}} \cdot (1 - x)$

Innsatt:  $9040 = 64500 \cdot \exp -((39.07 \cdot x + 46.93 \cdot (1-x)) \text{ cm}^2/\text{g} \cdot 2.229 \text{ g/cm}^3 \cdot 2 \cdot 10^{-2} \text{ cm}$

$$\frac{\ln\left(\frac{64500}{9040}\right)}{2.229 \cdot 2 \cdot 10^{-2}} = (39.07 - 46.93)x + 46.93$$

$$x = \frac{\frac{\ln\left(\frac{64500}{9040}\right)}{2.229 \cdot 2 \cdot 10^{-2}} - 46.93}{(39.07 - 46.93)} = 0.3628$$

$$x = 0.363 \text{ (Mg) og } (1-x) = 0.637 \text{ (Al)}$$

- b) Masseabsorpsjonskoeffisienten  $(\mu/\rho) \propto Z^3$  mellom absorpsjonskantene.  $Z_{\text{Si}} = 14$ ,  $Z_{\text{Al}} = 13$  dvs. vi venter at  $(\mu/\rho)$  og dermed også absorpsjonen øker om Al erstattes med Si.